

Eingabe: Farbmétrisches Offset-Reflektiv-System ORS18

für Buntton $h^* = l a h^* h = 38/360 = 0,105$

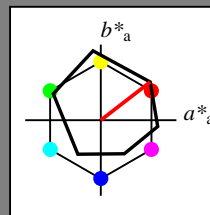
*lab*tch* und *lab*nch*

D65: Buntton O

LCH*Ma: 48 83 38

olv*Ma: 1.0 0.0 0.0

Dreiecks-Helligkeit t^*



%Umfang

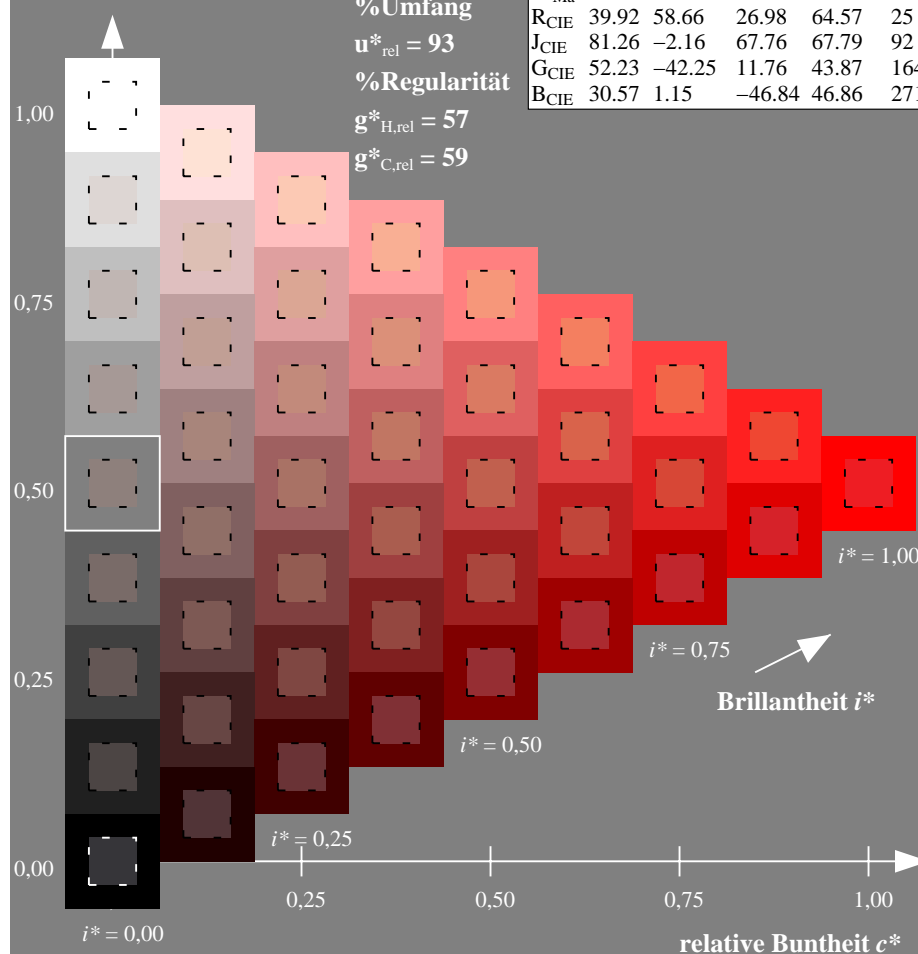
$$\mathbf{u}_{\text{rel}}^* = 93$$

%Regularität

$$g^*_{H,rel} = 57$$

$g^*_{C,rel} = 59$

ORS18; adaptierte CIELAB-Daten						
	$L^* = L_a^*$	a^*_a	b^*_a	$C^*_{ab,a}$	$h^*_{ab,a}$	
O _{Ma}	47.94	65.39	50.52	82.63		38
Y _{Ma}	90.37	-10.26	91.75	92.32		96
L _{Ma}	50.9	-62.83	34.96	71.91		151
C _{Ma}	58.62	-30.34	-45.01	54.3		236
V _{Ma}	25.72	31.1	-44.4	54.22		305
M _{Ma}	48.13	75.28	-8.36	75.74		354
N _{Ma}	18.01	0.0	0.0	0.0		0
W _{Ma}	95.41	0.0	0.0	0.0		0
R _{CIE}	39.92	58.66	26.98	64.57		25
J _{CIE}	81.26	-2.16	67.76	67.79		92
G _{CIE}	52.23	-42.25	11.76	43.87		164
B _{CIE}	30.57	1.15	-46.84	46.86		271



ZG630-7F, 9stufige Reihen für konstanten CIELAB Buntton $38/360 = 0.105$ (links)

Seite 1/10

BAM-Prüfvorlage ZG63; Farbmimetrik-Systeme, Seite 1/10

D65: 9 und 16stufige Farbreihen für 10 Bunttöne

Ausgabe: Farbmétrisches Offset-Reflektiv-System ORS18

für Buntton $h^* = l_a h^* h = 38/360 = 0,105$

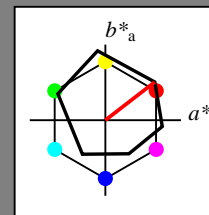
lab*tch und lab*nch

D65: Buntton O

LCH*Ma: 48 83 38

olv*Ma: 1.0 0.0 0.0

Dreiecks-Helligkeit t^*



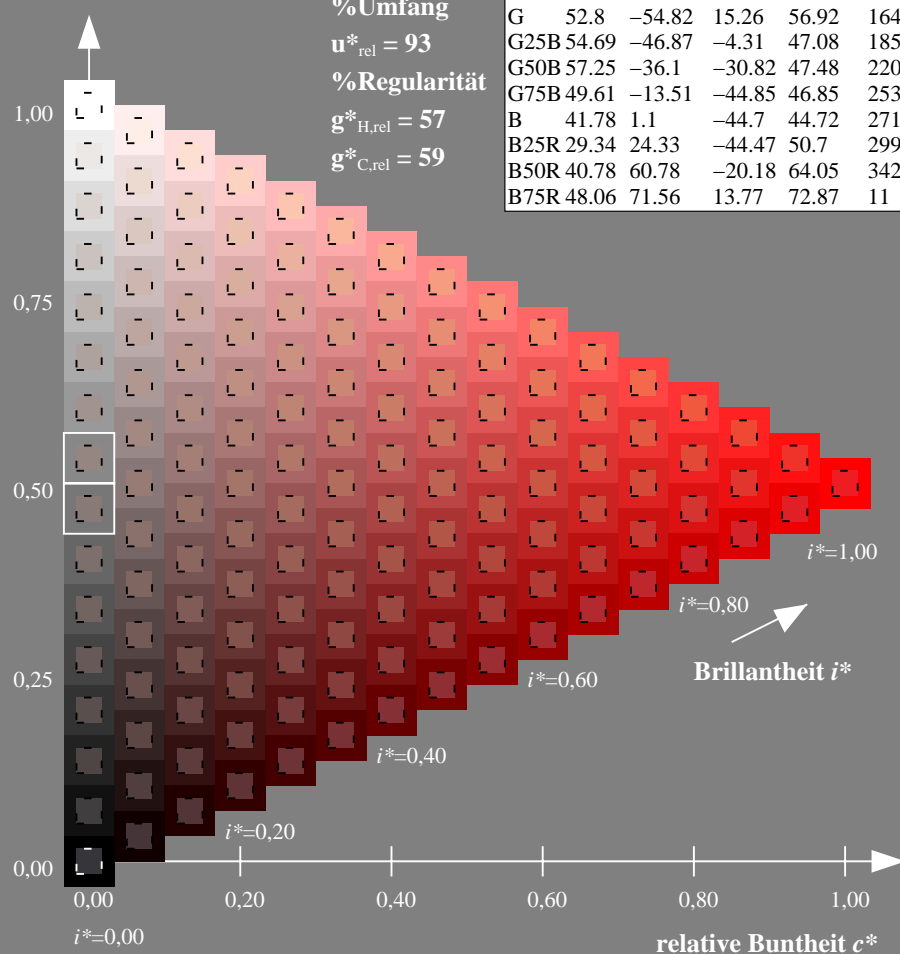
%Umfang

$$\mathbf{u}_{\text{rel}}^* = 93$$

%Regularität

$$g^*_{H,rel} = 57$$
$$g^*_{C,rel} = 59$$

ORS18; adaptierte CIELAB-Daten					
	L^*_a	a^*_a	b^*_a	$C^*_{ab,a}$	$h^*_{ab,a}$
R	48.0	68.58	31.54	75.48	25
R25J	50.11	61.52	52.63	80.96	41
R50J	62.87	38.77	65.02	75.71	59
R75J	74.87	17.37	76.69	78.63	77
J	86.19	-2.8	87.69	87.73	92
J25G	84.01	-18.73	82.6	84.7	103
J50G	71.17	-35.83	64.13	73.46	119
J75G	56.99	-54.71	43.72	70.05	141
G	52.8	-54.82	15.26	56.92	164
G25B	54.69	-46.87	-4.31	47.08	185
G50B	57.25	-36.1	-30.82	47.48	220
G75B	49.61	-13.51	-44.85	46.85	253
B	41.78	1.1	-44.7	44.72	271
B25R	29.34	24.33	-44.47	50.7	299
B50R	40.78	60.78	-20.18	64.05	342
B75R	48.06	71.56	13.77	72.87	11

ZG630-7F, 16stufige Reihen für konstanten CIELAB Buntton $38/360 = 0.105$ (rechts)

Eingabe: *rgb / cmy0 set(rgb/cmyk)color*

Ausgabe: keine Eingabeänderung

Eingabe: Farbmétrisches Offset-Reflektiv-System ORS18

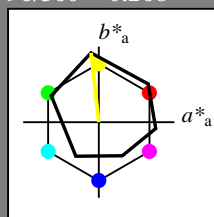
für Buntton $h^* = lab^*h = 96/360 = 0.268$

*lab*tch* und *lab*nch*

D65: Buntton Y

LCH*Ma: 90 92 96

olv*Ma: 1.0 1.0 0.0



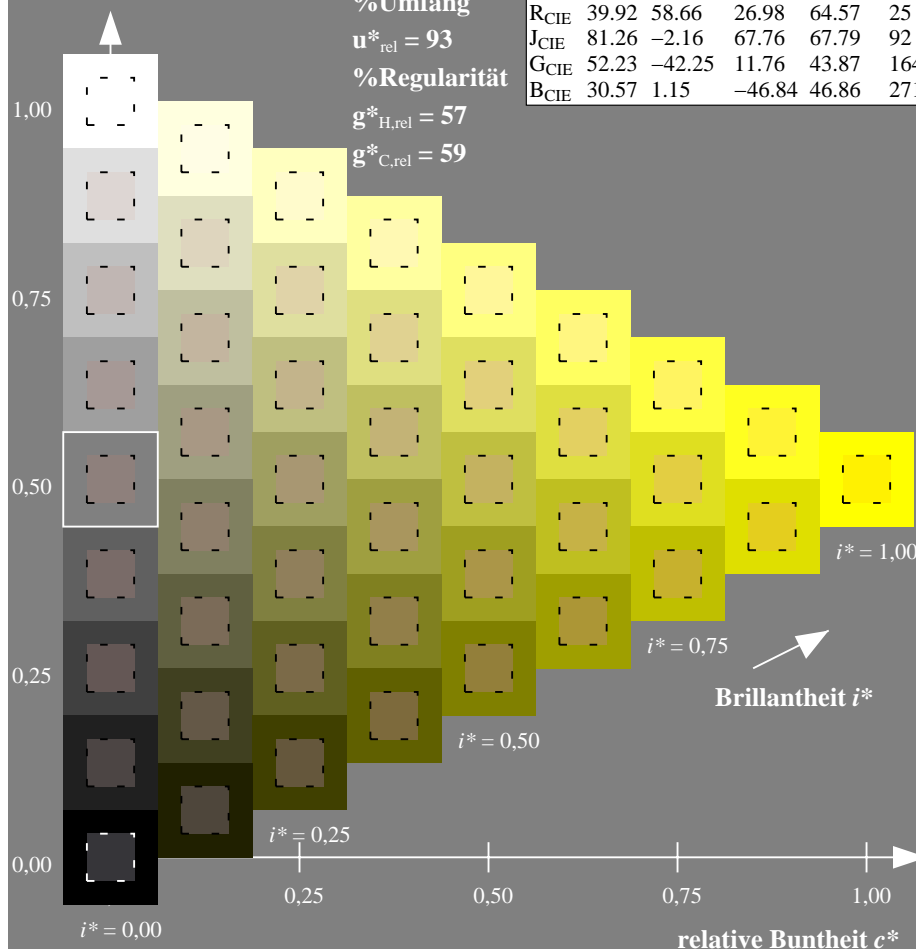
%Umfang

$$u_{rel}^* = 93$$

%Regularität

$$g^*_{H_{rel}} = 57$$

$g^*_{C_{rel}} = 59$



ZG630-7F, 9stufige Reihen für konstanten CIELAB Buntton $96/360 = 0.268$ (links)

Seite 2/10

BAM-Prüfvorlage ZG63: Farbmetrik-Systeme, Seite 2/10

D65: 9 und 16stufige Farbreihen für 10 Bunttöne

Ausgabe: Farbmétrisches Offset-Reflektiv-System ORS18

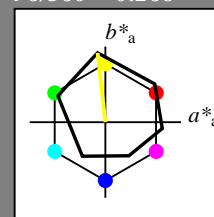
für Buntton $h^* = lab^*h = 96/360 = 0.268$

*lab*tch* und *lab*nch*

D65: Buntton Y

LCH*Ma: 90 92 96

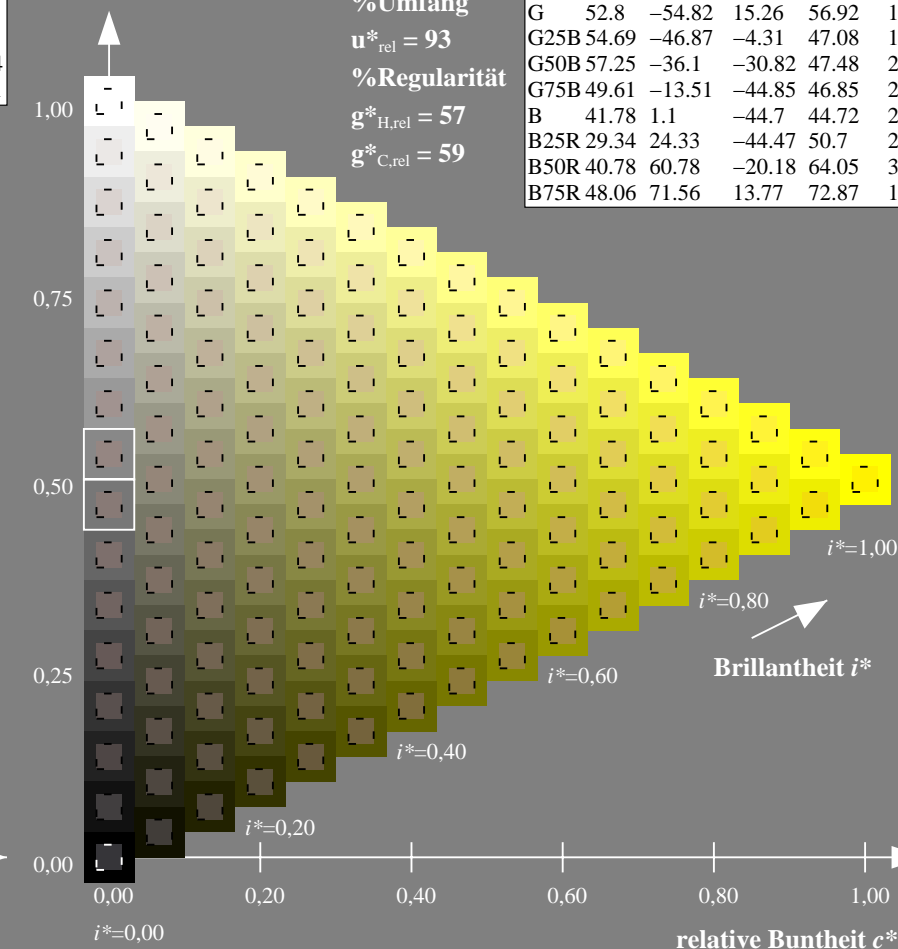
olv*Ma: 1.0 1.0 0.0



%Umfang

$$u_{rel}^* = 93$$

%Regularität

$$g^*_{H_{rel}} = 57$$
ZG630-7F, 16stufige Reihen für konstanten CIELAB Buntton $96/360 = 0.268$ (rechts)

Eingabe: *rgb / cmy0 set(rgb/cmyk)color*

Ausgabe: keine Eingabeänderung

Eingabe: Farbmimetrisches Offset-Reflektiv-System ORS18

für Buntton $h^* = lab^*h = 236/360 = 0.656$

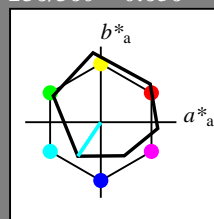
lab^*tch und lab^*nch

D65: Buntton C

LCH*Ma: 59 54 236

olv*Ma: 0.0 1.0 1.0

Dreiecks-Helligkeit t^*



%Umfang

$u^*_{rel} = 93$

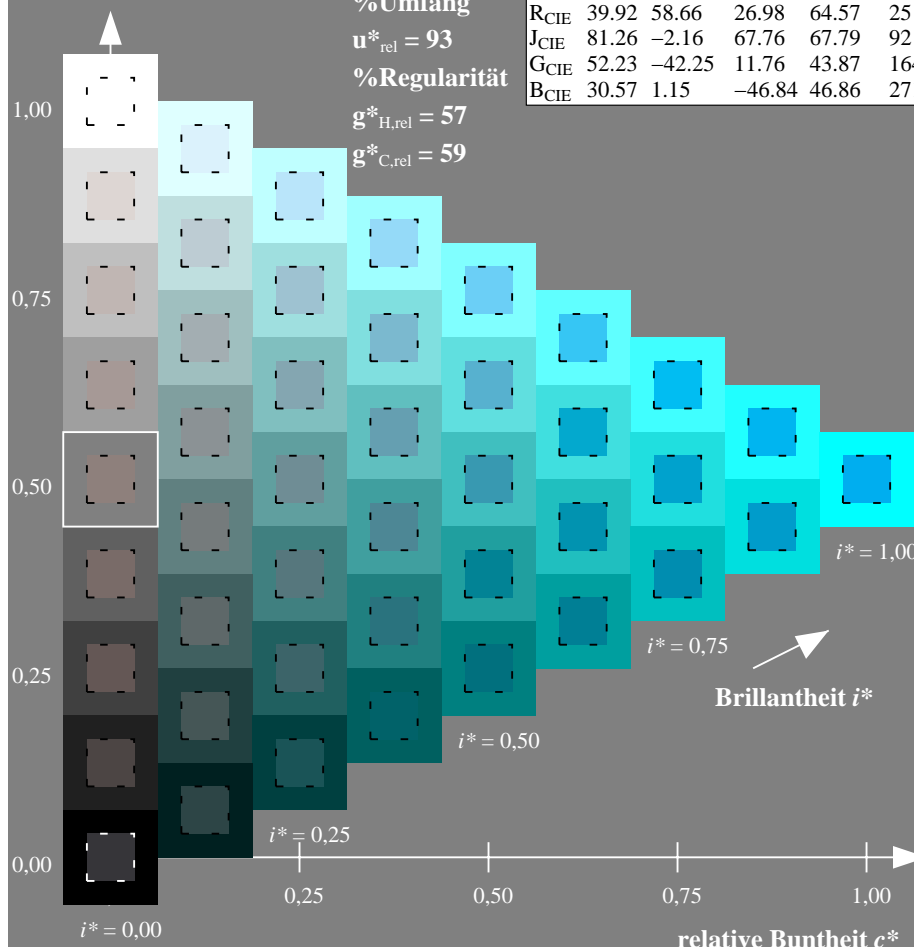
%Regularität

$g^*_{H,rel} = 57$

$g^*_{C,rel} = 59$

ORS18; adaptierte CIELAB-Daten

	$L^*=L^*_a$	a^*_a	b^*_a	$C^*_{ab,a}$	$h^*_{ab,a}$
O _{Ma}	47.94	65.39	50.52	82.63	38
Y _{Ma}	90.37	-10.26	91.75	92.32	96
L _{Ma}	50.9	-62.83	34.96	71.91	151
C _{Ma}	58.62	-30.34	-45.01	54.3	236
V _{Ma}	25.72	31.1	-44.4	54.22	305
M _{Ma}	48.13	75.28	-8.36	75.74	354
N _{Ma}	18.01	0.0	0.0	0.0	0
W _{Ma}	95.41	0.0	0.0	0.0	0
R _{CIE}	39.92	58.66	26.98	64.57	25
J _{CIE}	81.26	-2.16	67.76	67.79	92
G _{CIE}	52.23	-42.25	11.76	43.87	164
B _{CIE}	30.57	1.15	-46.84	46.86	271



Ausgabe: Farbmimetrisches Offset-Reflektiv-System ORS18

für Buntton $h^* = lab^*h = 236/360 = 0.656$

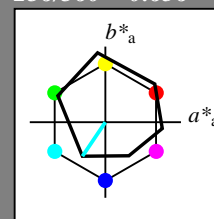
lab^*tch und lab^*nch

D65: Buntton C

LCH*Ma: 59 54 236

olv*Ma: 0.0 1.0 1.0

Dreiecks-Helligkeit t^*



%Umfang

$u^*_{rel} = 93$

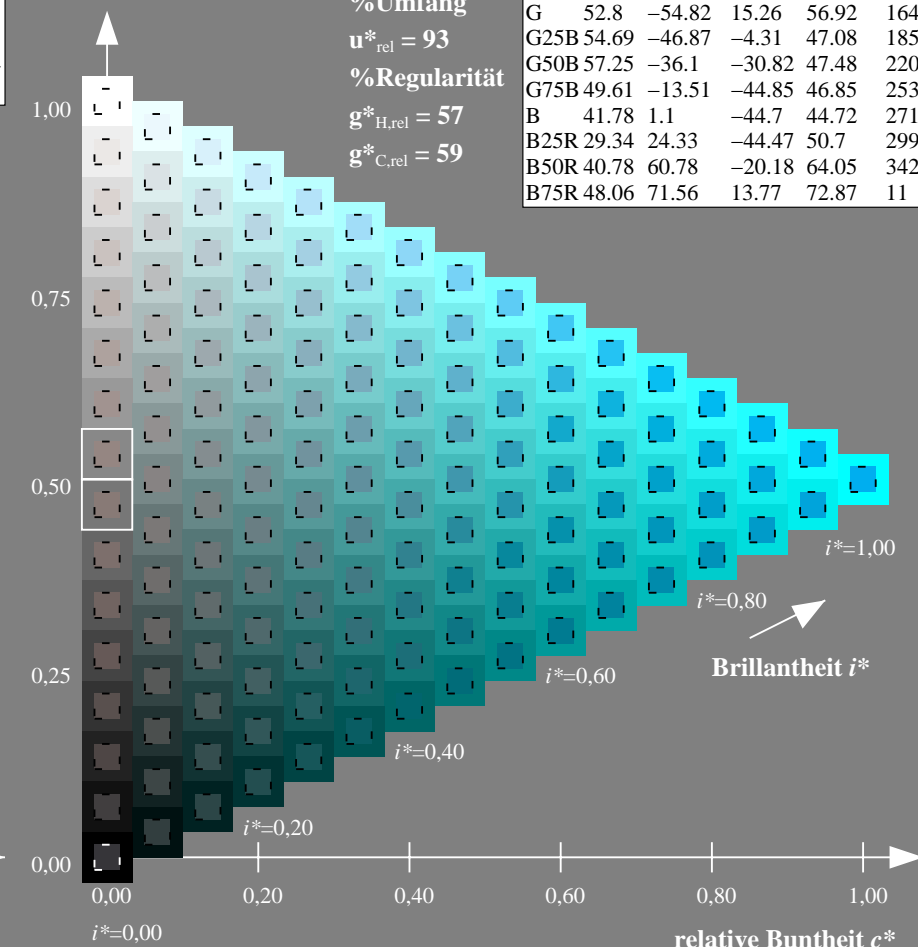
%Regularität

$g^*_{H,rel} = 57$

$g^*_{C,rel} = 59$

ORS18; adaptierte CIELAB-Daten

	$L^*=L^*_a$	a^*_a	b^*_a	$C^*_{ab,a}$	$h^*_{ab,a}$
R	48.0	68.58	31.54	75.48	25
R25J	50.11	61.52	52.63	80.96	41
R50J	62.87	38.77	65.02	75.71	59
R75J	74.87	17.37	76.69	78.63	77
J	86.19	-2.8	87.69	87.73	92
J25G	84.01	-18.73	82.6	84.7	103
J50G	71.17	-35.83	64.13	73.46	119
J75G	56.99	-54.71	43.72	70.05	141
G	52.8	-54.82	15.26	56.92	164
G25B	54.69	-46.87	-4.31	47.08	185
G50B	57.25	-36.1	-30.82	47.48	220
G75B	49.61	-13.51	-44.85	46.85	253
B	41.78	1.1	-44.7	44.72	271
B25R	29.34	24.33	-44.47	50.7	299
B50R	40.78	60.78	-20.18	64.05	342
B75R	48.06	71.56	13.77	72.87	11



ZG630-7F, 9stufige Reihen für konstanten CIELAB Buntton 236/360 = 0.656 (links)

Seite 4/10

ZG630-7F, 16stufige Reihen für konstanten CIELAB Buntton 236/360 = 0.656 (rechts)

BAM-Prüfvorlage ZG63; Farbmimetrik-Systeme, Seite 4/10

D65: 9 und 16stufige Farbreihen für 10 Bunttöne

Eingabe: $rgb / cmy0$ set($rgb/cmyk$)color

Ausgabe: keine Eingabeänderung

Eingabe: Farbmétrisches Offset-Reflektiv-System ORS18

für Buntton $h^* = lab^*h = 305/360 = 0.847$

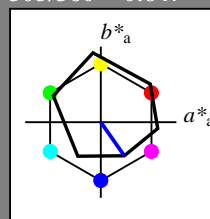
lab^*tch und lab^*nch

D65: Buntton V

LCH*Ma: 26 54 305

olv*Ma: 0.0 0.0 1.0

Dreiecks-Helligkeit t^*



%Umfang

$u^*_{rel} = 93$

%Regularität

$g^*_{H,rel} = 57$

$g^*_{C,rel} = 59$

ORS18; adaptierte CIELAB-Daten

	$L^*=L^*_a$	a^*_a	b^*_a	$C^*_{ab,a}$	$h^*_{ab,a}$
O _{Ma}	47.94	65.39	50.52	82.63	38
Y _{Ma}	90.37	-10.26	91.75	92.32	96
L _{Ma}	50.9	-62.83	34.96	71.91	151
C _{Ma}	58.62	-30.34	-45.01	54.3	236
V _{Ma}	25.72	31.1	-44.4	54.22	305
M _{Ma}	48.13	75.28	-8.36	75.74	354
N _{Ma}	18.01	0.0	0.0	0.0	0
W _{Ma}	95.41	0.0	0.0	0.0	0
R _{CIE}	39.92	58.66	26.98	64.57	25
J _{CIE}	81.26	-2.16	67.76	67.79	92
G _{CIE}	52.23	-42.25	11.76	43.87	164
B _{CIE}	30.57	1.15	-46.84	46.86	271

Ausgabe: Farbmétrisches Offset-Reflektiv-System ORS18

für Buntton $h^* = lab^*h = 305/360 = 0.847$

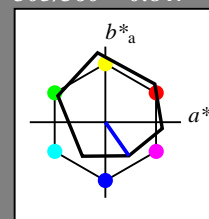
lab^*tch und lab^*nch

D65: Buntton V

LCH*Ma: 26 54 305

olv*Ma: 0.0 0.0 1.0

Dreiecks-Helligkeit t^*



%Umfang

$u^*_{rel} = 93$

%Regularität

$g^*_{H,rel} = 57$

$g^*_{C,rel} = 59$

ORS18; adaptierte CIELAB-Daten

	$L^*=L^*_a$	a^*_a	b^*_a	$C^*_{ab,a}$	$h^*_{ab,a}$
R	48.0	68.58	31.54	75.48	25
R25J	50.11	61.52	52.63	80.96	41
R50J	62.87	38.77	65.02	75.71	59
R75J	74.87	17.37	76.69	78.63	77
J	86.19	-2.8	87.69	87.73	92
J25G	84.01	-18.73	82.6	84.7	103
J50G	71.17	-35.83	64.13	73.46	119
J75G	56.99	-54.71	43.72	70.05	141
G	52.8	-54.82	15.26	56.92	164
G25B	54.69	-46.87	-4.31	47.08	185
G50B	57.25	-36.1	-30.82	47.48	220
G75B	49.61	-13.51	-44.85	46.85	253
B	41.78	1.1	-44.7	44.72	271
B25R	29.34	24.33	-44.47	50.7	299
B50R	40.78	60.78	-20.18	64.05	342
B75R	48.06	71.56	13.77	72.87	11

%Umfang

$u^*_{rel} = 93$

%Regularität

$g^*_{H,rel} = 57$

$g^*_{C,rel} = 59$

%Umfang

$u^*_{rel} = 93$

%Regularität

$g^*_{H,rel} = 57$

$g^*_{C,rel} = 59$

%Umfang

$u^*_{rel} = 93$

%Regularität

$g^*_{H,rel} = 57$

$g^*_{C,rel} = 59$

%Umfang

$u^*_{rel} = 93$

%Regularität

$g^*_{H,rel} = 57$

$g^*_{C,rel} = 59$

%Umfang

$u^*_{rel} = 93$

%Regularität

$g^*_{H,rel} = 57$

$g^*_{C,rel} = 59$

%Umfang

$u^*_{rel} = 93$

%Regularität

$g^*_{H,rel} = 57$

$g^*_{C,rel} = 59$

%Umfang

$u^*_{rel} = 93$

%Regularität

$g^*_{H,rel} = 57$

$g^*_{C,rel} = 59$

%Umfang

$u^*_{rel} = 93$

%Regularität

$g^*_{H,rel} = 57$

$g^*_{C,rel} = 59$

%Umfang

$u^*_{rel} = 93$

%Regularität

$g^*_{H,rel} = 57$

$g^*_{C,rel} = 59$

%Umfang

$u^*_{rel} = 93$

%Regularität

$g^*_{H,rel} = 57$

$g^*_{C,rel} = 59$

%Umfang

$u^*_{rel} = 93$

%Regularität

$g^*_{H,rel} = 57$

$g^*_{C,rel} = 59$

%Umfang

$u^*_{rel} = 93$

%Regularität

$g^*_{H,rel} = 57$

$g^*_{C,rel} = 59$

%Umfang

$u^*_{rel} = 93$

%Regularität

$g^*_{H,rel} = 57$

$g^*_{C,rel} = 59$

%Umfang

$u^*_{rel} = 93$

%Regularität

$g^*_{H,rel} = 57$

$g^*_{C,rel} = 59$

%Umfang

$u^*_{rel} = 93$

%Regularität

$g^*_{H,rel} = 57$

$g^*_{C,rel} = 59$

%Umfang

$u^*_{rel} = 93$

%Regularität

$g^*_{H,rel} = 57$

$g^*_{C,rel} = 59$

%Umfang

$u^*_{rel} = 93$

%Regularität

$g^*_{H,rel} = 57$

$g^*_{C,rel} = 59$

%Umfang

$u^*_{rel} = 93$

%Regularität

$g^*_{H,rel} = 57$

$g^*_{C,rel} = 59$

%Umfang

$u^*_{rel} = 93$

%Regularität

$g^*_{H,rel} = 57$

$g^*_{C,rel} = 59$

%Umfang

$u^*_{rel} = 93$

%Regularität

$g^*_{H,rel} = 57$

$g^*_{C,rel} = 59$

%Umfang

$u^*_{rel} = 93$

%Regularität

$g^*_{H,rel} = 57$

$g^*_{C,rel} = 59$

%Umfang

$u^*_{rel} = 93$

%Regularität

$g^*_{H,rel} = 57$

$g^*_{C,rel} = 59$

%Umfang

$u^*_{rel} = 93$

%Regularität

$g^*_{H,rel} = 57$

$g^*_{C,rel} = 59$

%Umfang

$u^*_{rel} = 93$

%Regularität

$g^*_{H,rel} = 57$

$g^*_{C,rel} = 59$

%Umfang

$u^*_{rel} = 93$

%Regularität

$g^*_{H,rel} = 57$

$g^*_{C,rel} = 59$

%Umfang

$u^*_{rel} = 93$

%Regularität

$g^*_{H,rel} = 57$

$g^*_{C,rel} = 59$

%Umfang

$u^*_{rel} = 93$

%Regularität

$g^*_{H,rel} = 57$

$g^*_{C,rel} = 59$

%Umfang

$u^*_{rel} = 93$

%Regularität

$g^*_{H,rel} = 57$

$g^*_{C,rel} = 59$

%Umfang

$u^*_{rel} = 93$

%Regularität

$g^*_{H,rel} = 57$

$g^*_{C,rel} = 59$

%Umfang

$u^*_{rel} = 93$

%Regularität

$g^*_{H,rel} = 57$

$g^*_{C,rel} = 59$

%Umfang

$u^*_{rel} = 93$

%Regularität

$g^*_{H,rel} = 57$

$g^*_{C,rel} = 59$

%Umfang

$u^*_{rel} = 93$

%Regularität

$g^*_{H,rel} = 57$

$g^*_{C,rel} = 59$

%Umfang

$u^*_{rel} = 93$

%Regularität

$g^*_{H,rel} = 57$

$g^*_{C,rel} = 59$

%Umfang

$u^*_{rel} = 93$

%Regularität

$g^*_{H,rel} = 57$

$g^*_{C,rel} = 59$

%Umfang

$u^*_{rel} = 93$

%Regularität

$g^*_{H,rel} = 57$

$g^*_{C,rel} = 59$

%Umfang

$u^*_{rel} = 93$

%Regularität

$g^*_{H,rel} = 57$

$g^*_{C,rel} = 59$

%Umfang

$u^*_{rel} = 93$

%Regularität

$g^*_{H,rel} = 57$

$g^*_{C,rel} = 59$

%Umfang

$u^*_{rel} = 93$

%Regularität

$g^*_{H,rel} = 57$

$g^*_{C,rel} = 59$

%Umfang

$u^*_{rel} = 93$

%Regularität

$g^*_{H,rel} = 57$

$g^*_{C,rel} = 59$

%Umfang

$u^*_{rel} = 93$

%Regularität

$g^*_{H,rel} = 57$

$g^*_{C,rel} = 59$

%Umfang

$u^*_{rel} = 93$

%Regularität

Eingabe: Farbmimetrisches Offset-Reflektiv-System ORS18

für Buntton $h^* = lab^*h = 354/360 = 0.982$

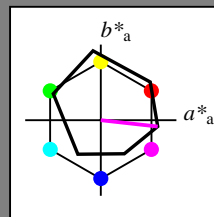
lab^*tch und lab^*nch

D65: Buntton M

LCH*Ma: 48 76 354

olv*Ma: 1.0 0.0 1.0

Dreiecks-Helligkeit t^*



%Umfang

$u^*_{rel} = 93$

%Regularität

$g^*_{H,rel} = 57$

$g^*_{C,rel} = 59$

ORS18; adaptierte CIELAB-Daten

	$L^*=L^*_a$	a^*_a	b^*_a	$C^*_{ab,a}$	$h^*_{ab,a}$
O _{Ma}	47.94	65.39	50.52	82.63	38
Y _{Ma}	90.37	-10.26	91.75	92.32	96
L _{Ma}	50.9	-62.83	34.96	71.91	151
C _{Ma}	58.62	-30.34	-45.01	54.3	236
V _{Ma}	25.72	31.1	-44.4	54.22	305
M _{Ma}	48.13	75.28	-8.36	75.74	354
N _{Ma}	18.01	0.0	0.0	0.0	0
W _{Ma}	95.41	0.0	0.0	0.0	0
R _{CIE}	39.92	58.66	26.98	64.57	25
J _{CIE}	81.26	-2.16	67.76	67.79	92
G _{CIE}	52.23	-42.25	11.76	43.87	164
B _{CIE}	30.57	1.15	-46.84	46.86	271

Ausgabe: Farbmimetrisches Offset-Reflektiv-System ORS18

für Buntton $h^* = lab^*h = 354/360 = 0.982$

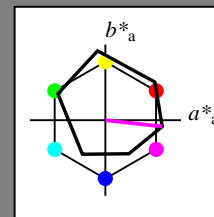
lab^*tch und lab^*nch

D65: Buntton M

LCH*Ma: 48 76 354

olv*Ma: 1.0 0.0 1.0

Dreiecks-Helligkeit t^*



%Umfang

$u^*_{rel} = 93$

%Regularität

$g^*_{H,rel} = 57$

$g^*_{C,rel} = 59$

ORS18; adaptierte CIELAB-Daten

	$L^*=L^*_a$	a^*_a	b^*_a	$C^*_{ab,a}$	$h^*_{ab,a}$
R	48.0	68.58	31.54	75.48	25
R25J	50.11	61.52	52.63	80.96	41
R50J	62.87	38.77	65.02	75.71	59
R75J	74.87	17.37	76.69	78.63	77
J	86.19	-2.8	87.69	87.73	92
J25G	84.01	-18.73	82.6	84.7	103
J50G	71.17	-35.83	64.13	73.46	119
J75G	56.99	-54.71	43.72	70.05	141
G	52.8	-54.82	15.26	56.92	164
G25B	54.69	-46.87	-4.31	47.08	185
G50B	57.25	-36.1	-30.82	47.48	220
G75B	49.61	-13.51	-44.85	46.85	253
B	41.78	1.1	-44.7	44.72	271
B25R	29.34	24.33	-44.47	50.7	299
B50R	40.78	60.78	-20.18	64.05	342
B75R	48.06	71.56	13.77	72.87	11

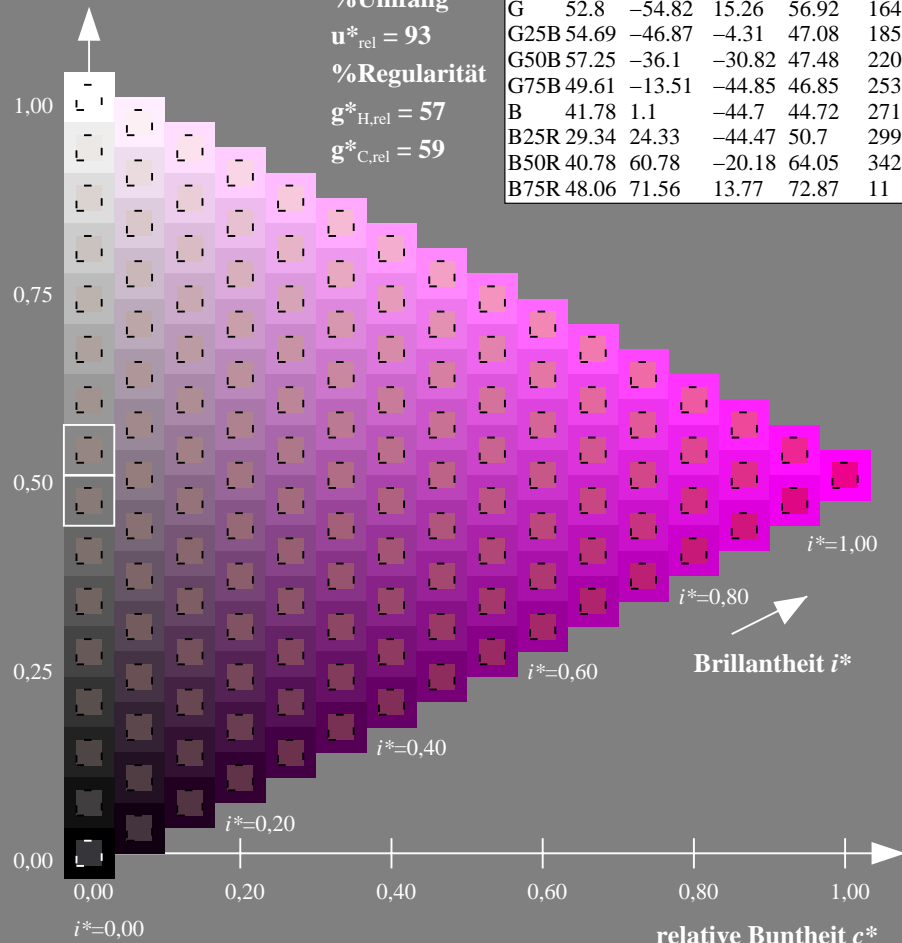
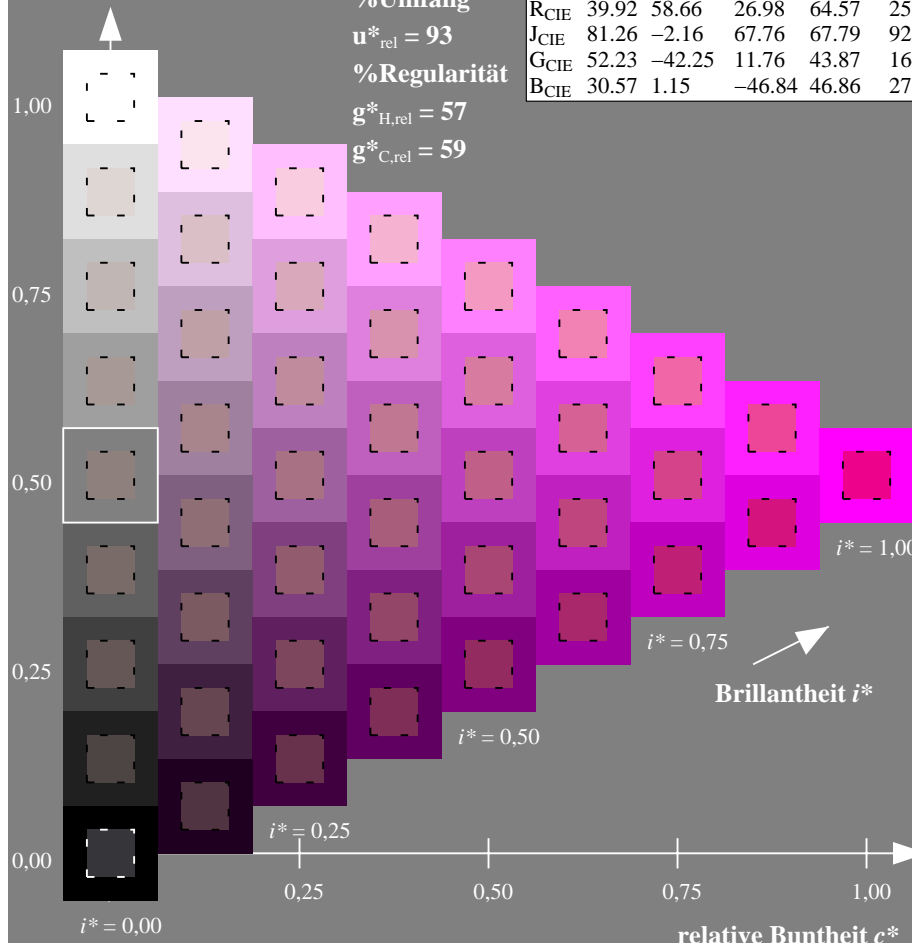
%Umfang

$u^*_{rel} = 93$

%Regularität

$g^*_{H,rel} = 57$

$g^*_{C,rel} = 59$



ZG630-7F, 9stufige Reihen für konstanten CIELAB Buntton 354/360 = 0.982 (links)

Seite 6/10

ZG630-7F, 16stufige Reihen für konstanten CIELAB Buntton 354/360 = 0.982 (rechts)

BAM-Prüfvorlage ZG63; Farbmimetrik-Systeme, Seite 6/10

D65: 9 und 16stufige Farbreihen für 10 Bunttöne

Eingabe: $rgb / cmy0$ set($rgb/cmyk$)color

Ausgabe: keine Eingabeänderung

Eingabe: Farbmimetrisches Offset-Reflektiv-System ORS18

für Buntton $h^* = lab^*h = 164/360 = 0.457$

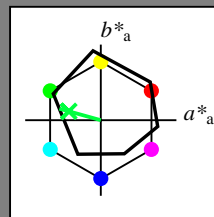
lab^*tch und lab^*nch

D65: Buntton G

LCH*Ma: 53 57 164

olv*Ma: 0.0 1.0 0.25

Dreiecks-Helligkeit t^*



%Umfang

$u^*_{rel} = 93$

%Regularität

$g^*_{H,rel} = 57$

$g^*_{C,rel} = 59$

ORS18; adaptierte CIELAB-Daten	$L^*=L^*_a$	a^*_a	b^*_a	$C^*_{ab,a}$	$h^*_{ab,a}$
O _{Ma}	47.94	65.39	50.52	82.63	38
Y _{Ma}	90.37	-10.26	91.75	92.32	96
L _{Ma}	50.9	-62.83	34.96	71.91	151
C _{Ma}	58.62	-30.34	-45.01	54.3	236
V _{Ma}	25.72	31.1	-44.4	54.22	305
M _{Ma}	48.13	75.28	-8.36	75.74	354
N _{Ma}	18.01	0.0	0.0	0.0	0
W _{Ma}	95.41	0.0	0.0	0.0	0
R _{CIE}	39.92	58.66	26.98	64.57	25
J _{CIE}	81.26	-2.16	67.76	67.79	92
G _{CIE}	52.23	-42.25	11.76	43.87	164
B _{CIE}	30.57	1.15	-46.84	46.86	271

Ausgabe: Farbmimetrisches Offset-Reflektiv-System ORS18

für Buntton $h^* = lab^*h = 164/360 = 0.457$

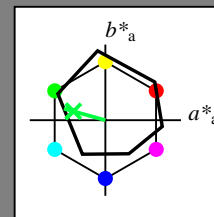
lab^*tch und lab^*nch

D65: Buntton G

LCH*Ma: 53 57 164

olv*Ma: 0.0 1.0 0.25

Dreiecks-Helligkeit t^*



%Umfang

$u^*_{rel} = 93$

%Regularität

$g^*_{H,rel} = 57$

$g^*_{C,rel} = 59$

ORS18; adaptierte CIELAB-Daten	$L^*=L^*_a$	a^*_a	b^*_a	$C^*_{ab,a}$	$h^*_{ab,a}$
R	48.0	68.58	31.54	75.48	25
R25J	50.11	61.52	52.63	80.96	41
R50J	62.87	38.77	65.02	75.71	59
R75J	74.87	17.37	76.69	78.63	77
J	86.19	-2.8	87.69	87.73	92
J25G	84.01	-18.73	82.6	84.7	103
J50G	71.17	-35.83	64.13	73.46	119
J75G	56.99	-54.71	43.72	70.05	141
G	52.8	-54.82	15.26	56.92	164
G25B	54.69	-46.87	-4.31	47.08	185
G50B	57.25	-36.1	-30.82	47.48	220
G75B	49.61	-13.51	-44.85	46.85	253
B	41.78	1.1	-44.7	44.72	271
B25R	29.34	24.33	-44.47	50.7	299
B50R	40.78	60.78	-20.18	64.05	342
B75R	48.06	71.56	13.77	72.87	11

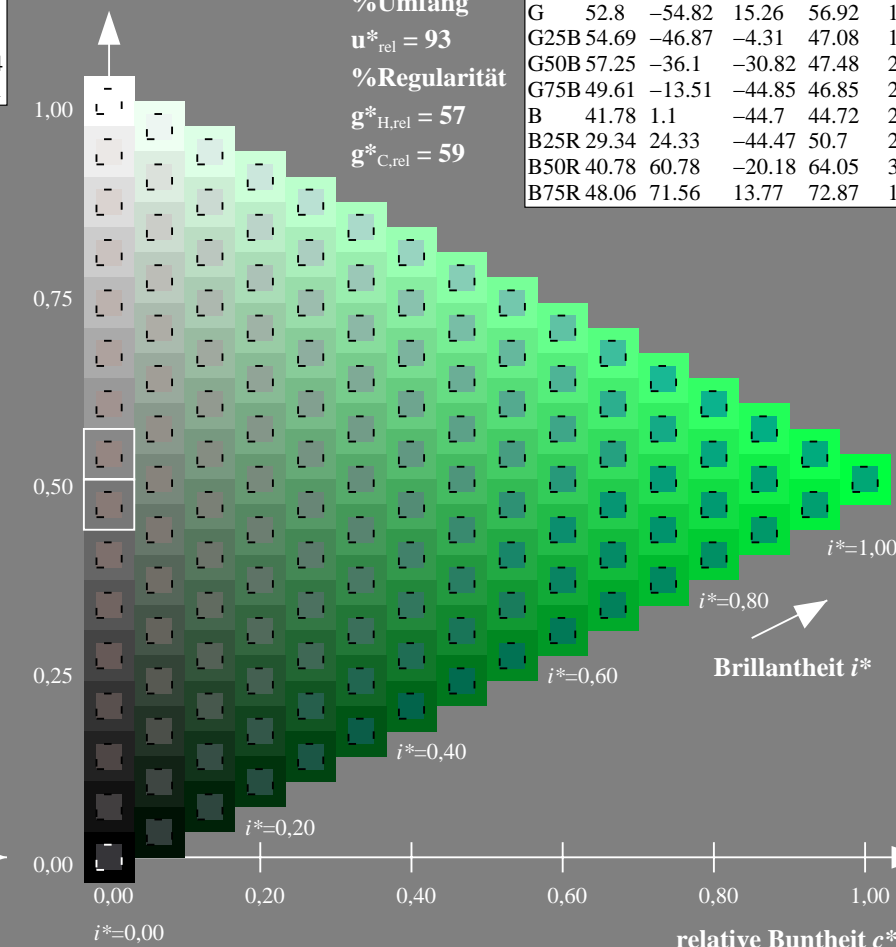
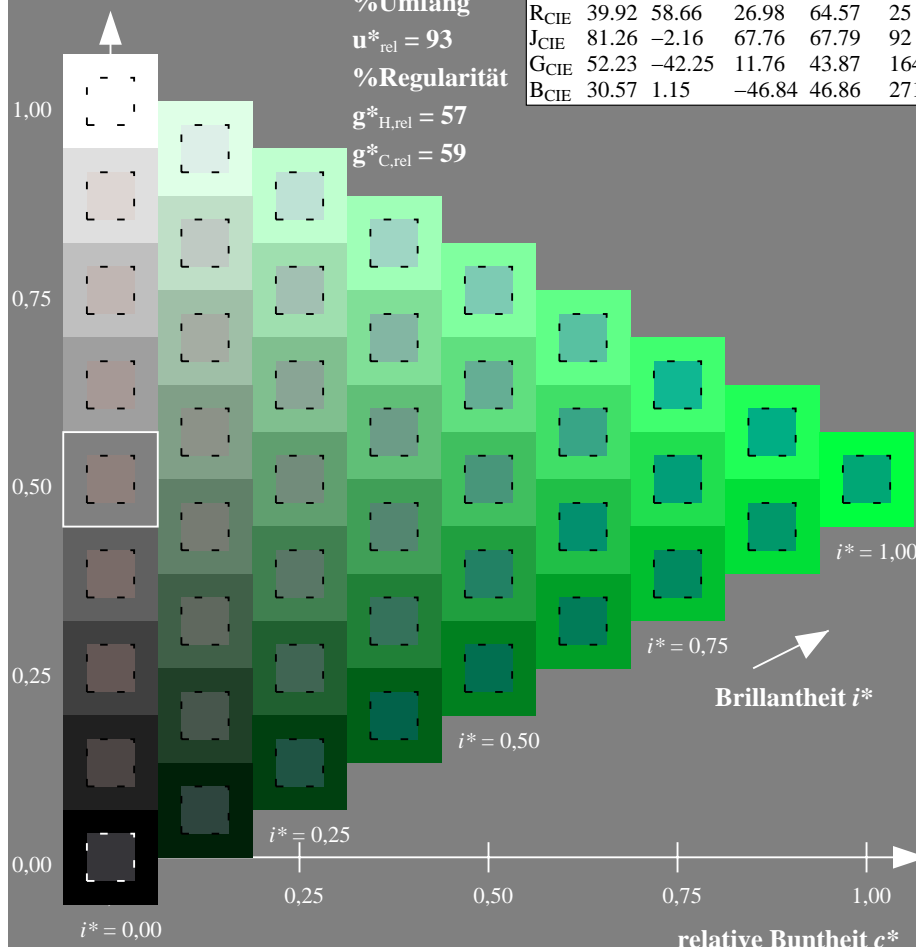
%Umfang

$u^*_{rel} = 93$

%Regularität

$g^*_{H,rel} = 57$

$g^*_{C,rel} = 59$



ZG630-7F, 9stufige Reihen für konstanten CIELAB Buntton 164/360 = 0.457 (links)

Seite 9/10

ZG630-7F, 16stufige Reihen für konstanten CIELAB Buntton 164/360 = 0.457 (rechts)

BAM-Prüfvorlage ZG63; Farbmimetrik-Systeme, Seite 9/10

D65: 9 und 16stufige Farbreihen für 10 Bunttöne

Eingabe: $rgb / cmy0$ set($rgb/cmyk$)color

Ausgabe: keine Eingabeänderung

Eingabe: Farbmétrisches Offset-Reflektiv-System ORS18

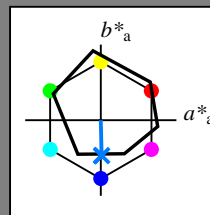
für Buntton $h^* = lab^*h = 271/360 = 0.754$

*lab*tch* und *lab*nch*

D65: Buntton B

LCH*Ma: 42 45 271

olv*Ma: 0.0 0.49 1.0



%Umfang

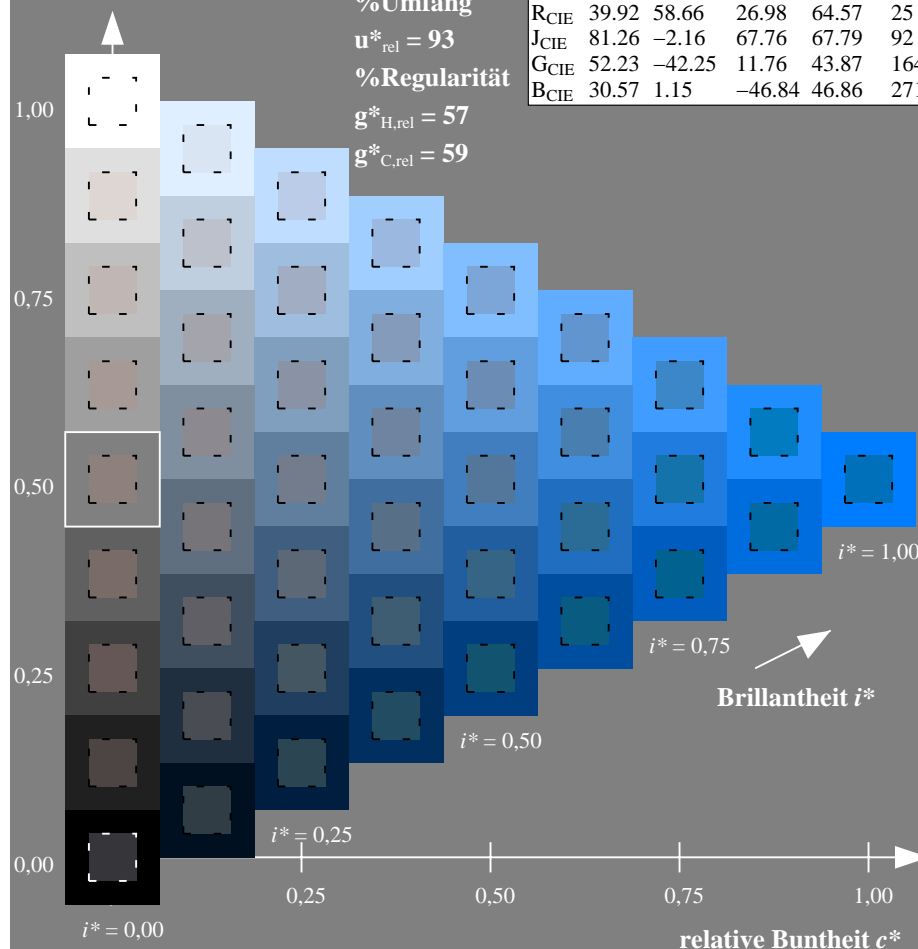
$$u_{rel}^* = 93$$

%Regularität

 $\sigma^*_{\text{H rel}} = 57$

■ $\sigma^*_{\text{Coul}} = 59$

ORS18; adaptierte CIELAB-Daten						
	$L^* = L_a^*$	a^*_a	b^*_a	$C^*_{ab,a}$	$h^*_{ab,a}$	
O _{Ma}	47.94	65.39	50.52	82.63	38	
Y _{Ma}	90.37	-10.26	91.75	92.32	96	
L _{Ma}	50.9	-62.83	34.96	71.91	151	
C _{Ma}	58.62	-30.34	-45.01	54.3	236	
V _{Ma}	25.72	31.1	-44.4	54.22	305	
M _{Ma}	48.13	75.28	-8.36	75.74	354	
N _{Ma}	18.01	0.0	0.0	0.0	0	
W _{Ma}	95.41	0.0	0.0	0.0	0	
R _{CIE}	39.92	58.66	26.98	64.57	25	
J _{CIE}	81.26	-2.16	67.76	67.79	92	
G _{CIE}	52.23	-42.25	11.76	43.87	164	
B _{CIE}	30.57	1.15	-46.84	46.86	271	



ZG630-7F, 9stufige Reihen für konstanten CIELAB Buntton $271/360 = 0.754$ (links) Seite 10/10

BAM-Prüfvorlage ZG63; Farbmatrik-Systeme, Seite 10/10 Eingabe: *rgb / cmy0 set(rgb/cmyk)color*
D65: 9 und 16stufige Farbreihen für 10 Bunttöne Ausgabe: keine Eingabeänderung

Ausgabe: Farbmétrisches Offset-Reflektiv-System ORS18

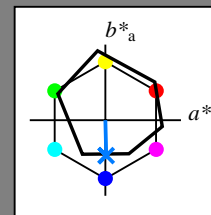
für Buntton $h^* = lab^*h = 271/360 = 0.754$

lab*tch und lab*nch

D65: Buntton B

LCH*Ma: 42 45 271

olv*Ma: 0.0 0.49 1.0



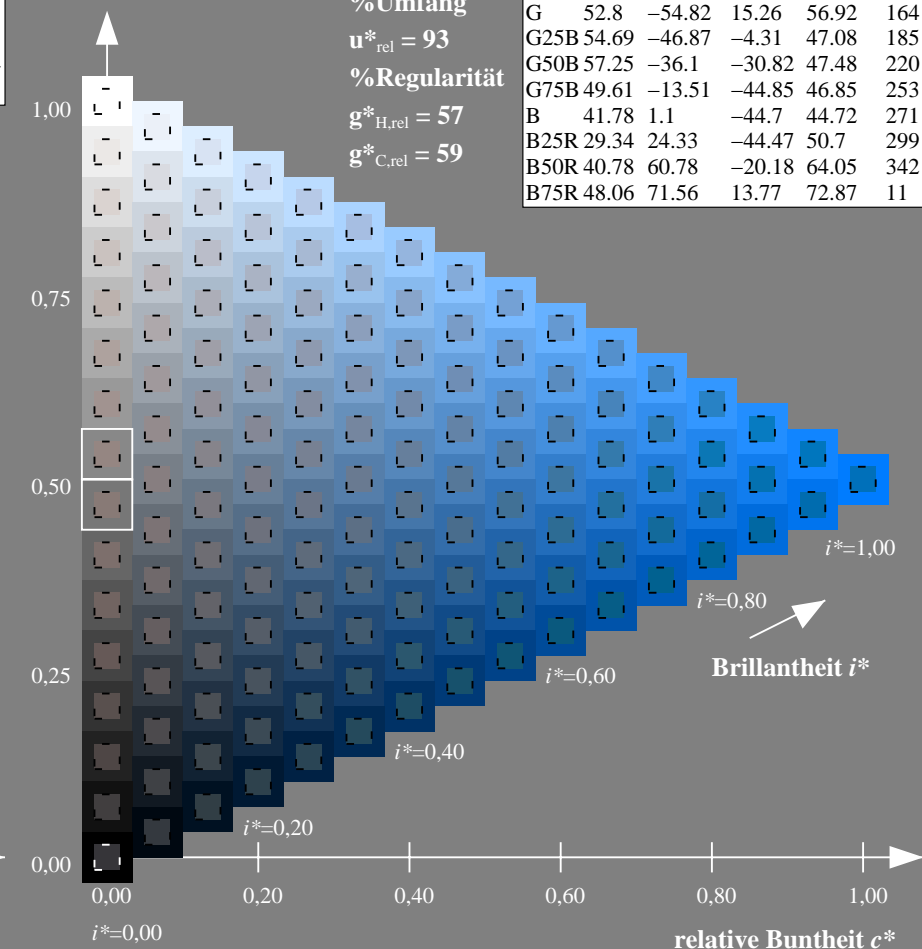
%Umfang

$$\mathbf{u}_{\text{rel}}^* = 93$$

%Regularität

 $\sigma^*_{\text{H rel}} = 57$ $\sigma^*_{\text{Coul}} = 59$

ORS18; adaptierte CIELAB-Daten					
	L^*_a	a^*_a	b^*_a	$C^*_{ab,a}$	$h^*_{ab,a}$
R	48.0	68.58	31.54	75.48	25
R25J	50.11	61.52	52.63	80.96	41
R50J	62.87	38.77	65.02	75.71	59
R75J	74.87	17.37	76.69	78.63	77
J	86.19	-2.8	87.69	87.73	92
J25G	84.01	-18.73	82.6	84.7	103
J50G	71.17	-35.83	64.13	73.46	119
J75G	56.99	-54.71	43.72	70.05	141
G	52.8	-54.82	15.26	56.92	164
G25B	54.69	-46.87	-4.31	47.08	185
G50B	57.25	-36.1	-30.82	47.48	220
G75B	49.61	-13.51	-44.85	46.85	253
B	41.78	1.1	-44.7	44.72	271
B25R	29.34	24.33	-44.47	50.7	299
B50R	40.78	60.78	-20.18	64.05	342
B75R	48.06	71.56	13.77	72.87	11



ZG630-7F, 16stufige Reihen für konstanten CIELAB Buntton $271/360 = 0.754$ (rechts)